

Università degli Studi di Padova – Dipartimento di Ingegneria Industriale

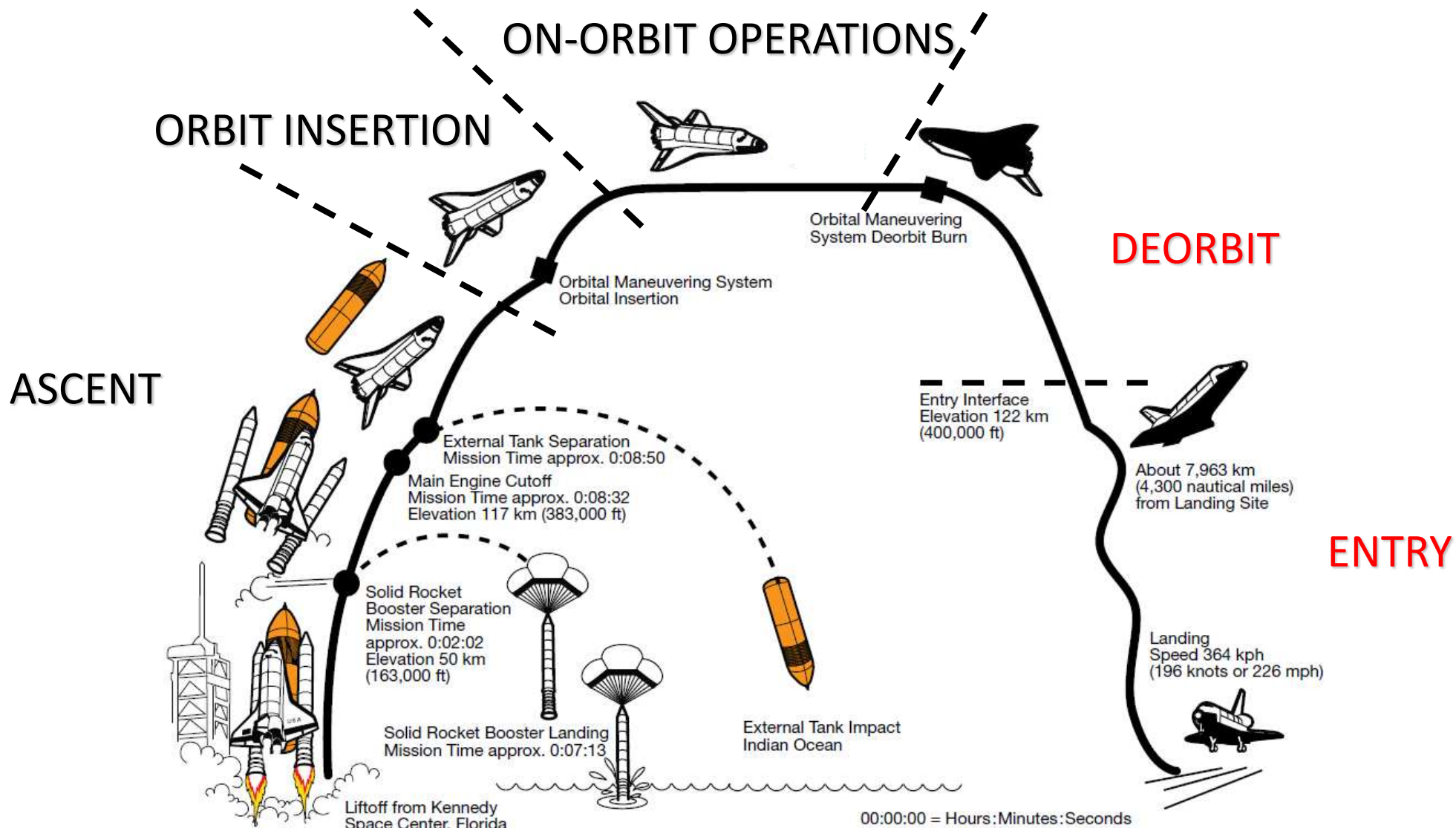
Corso di Laurea in Ingegneria Aerospaziale

***Relazione per la prova finale  
«Analisi della manovra di rientro  
atmosferico dello Space Shuttle  
orbiter»***

Tutor universitario: Prof. Giacomo  
Colombatti

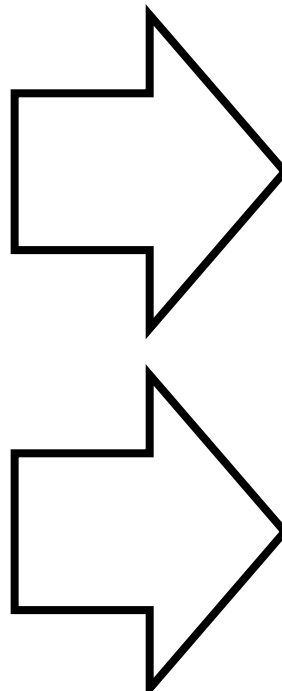
Laureando: Alessandro Pasinato

Padova, 09/07/2024



**OBIETTIVO:** descrivere ed analizzare come i vincoli di natura strutturale, termica e di stabilità del volo hanno determinato le scelte principali di *flight design* della manovra di rientro atmosferico dello *Space Shuttle orbiter*.

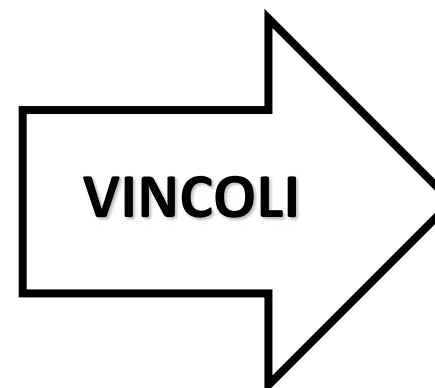
Descrizione  
della fase di  
*deorbit*



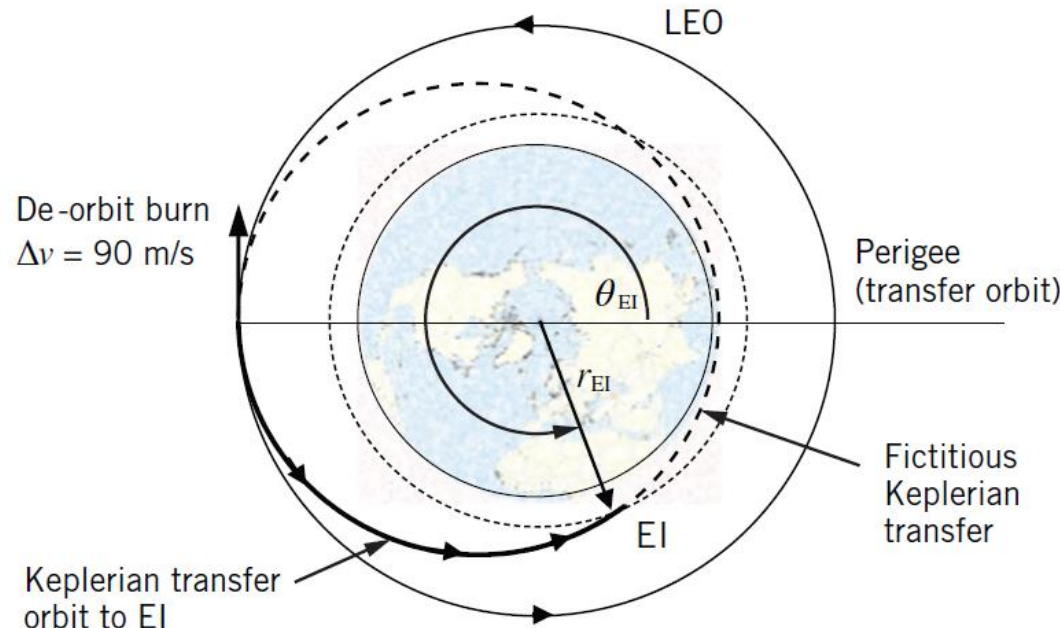
Modellizzazione come  
manovra impulsiva

Descrizione  
della *entry*  
*subphase*.

Individuazione delle  
equazioni del moto



**SCELTE DI FLIGHT  
DESIGN**

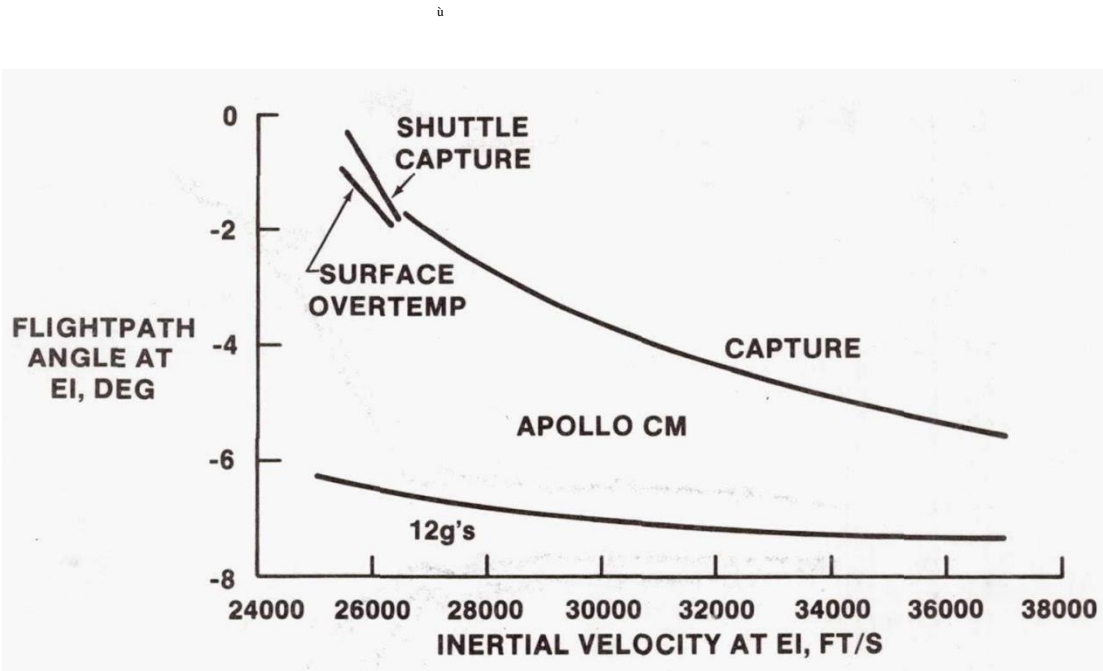


NOMINAL OMS/RCS USE	
Mission Time	Activity
T+: time after launch	Maneuver: RCS BURN
L-: time before landing	OMS: OMS BURN
T +0:10:35	Maneuver of -Z translation
T +0:10:39	OMS-1
T +0:12:24	OMS-1 cut-off
T +0:45:58	OMS-2
T +0:46:34	OMS-2 cut-off
L -1:15:00	Maneuver to place tail-first
L -1:00:00	attitude
L -0:58:00	OMS-retro
L -0:52:00	OMS-retro cut-off
	Maneuver for entry

TABLE 2

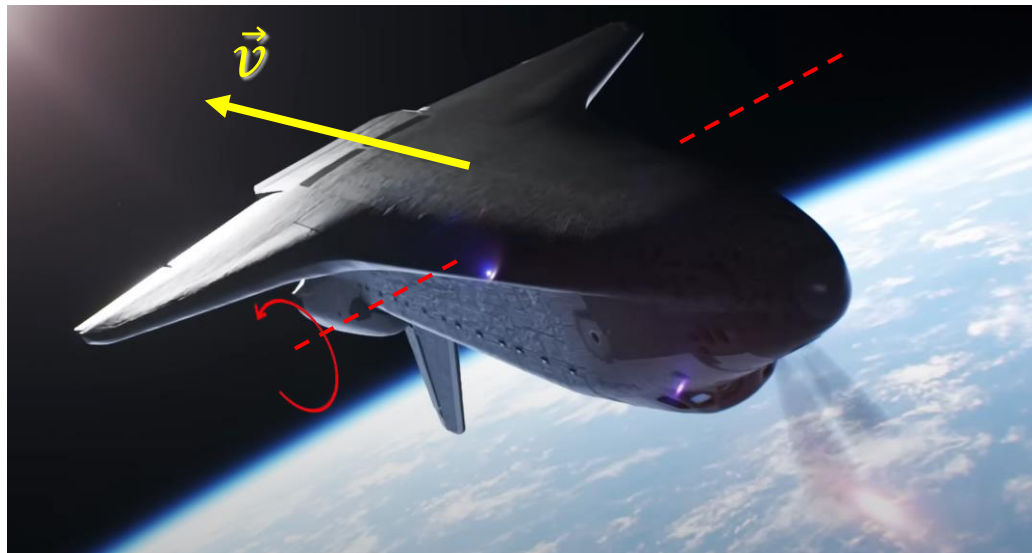
Deorbit  
↔

- Inizialmente l'orbiter si trova in un orbita LEO;
- L'orbiter si porta in un assetto *tail-first* tramite una rotazione intorno all'asse di beccheggio;
- Attivazione dei propulsori OMS e **deorbit burn**;
- Trasferimento in un'orbita ellittica intersecante la **Entry Interface (EI)** (altitudine di 122 km).

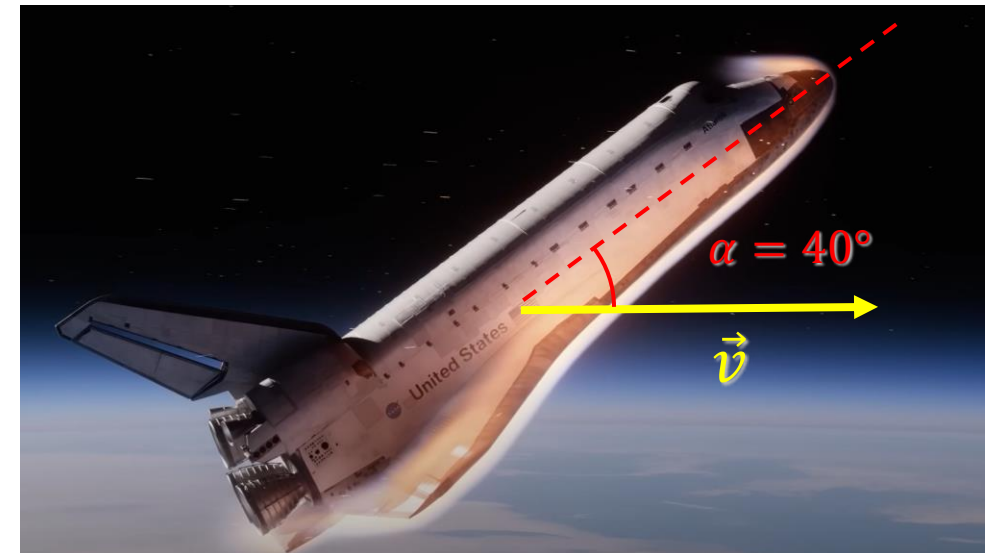


- **Flight path angle  $\gamma$  e velocità inerziale  $v$**  alla EI influenzano i carichi strutturali e termici massimi durante la successiva fase *Entry*;
- Alla EI,  $\gamma$  e  $v$  devono essere compresi all'interno di determinati intervalli di valori → **DEORBIT TARGETING**.
- Valori tipici:  $-\gamma = 1^\circ \div 1.5^\circ$   $v = 28000 \div 29000 \text{ km/h}$ .

- Poco prima del raggiungimento della EI l'assetto dell'orbiter viene portato *nose-first* con *angolo d'attacco*  $\alpha = 40^\circ$  e *bank angle*  $\phi = 0^\circ$ ;
- Questo assetto viene mantenuto fino all'altitudine di 80 km.

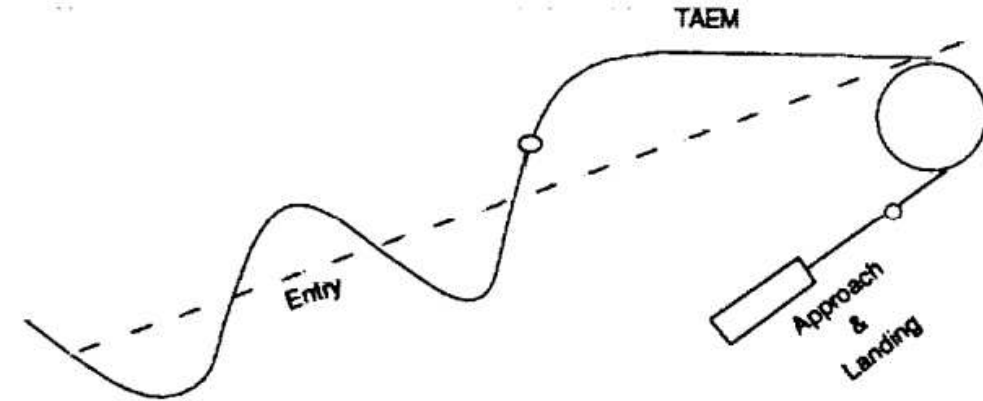


Assetto prima della EI



Assetto alla EI

- La fase *Entry* è suddivisa nelle seguenti sottofasi:
  1. ***Entry subphase*** (tra *EI* e *TAEM interface*);
  2. ***TAEM subphase***;
  3. ***Apporach and landing subphase*.**
- *TAEM interface* all'altitudine di 24 km;
- *Entry subphase* → distanza percorsa: 8000-10000 km;
- *TAEM + Approach and landing* → distanza percorsa: 80-100 km.



Event	Time from EI (min: sec)	Velocity (x10 <sup>3</sup> ft/sec) Mach
Entry interface	0:00	24.6
Closed-loop guidance initiate	4:00	24.5
Entry/TAEM interface	25:48	2.5 (3.2 RTLS)
TAEM/approach and landing interface	30:16	300 KEAS

Trascurando le forze apparenti dovute alla rotazione terrestre, si ricavano le seguenti leggi del moto in ECEF:

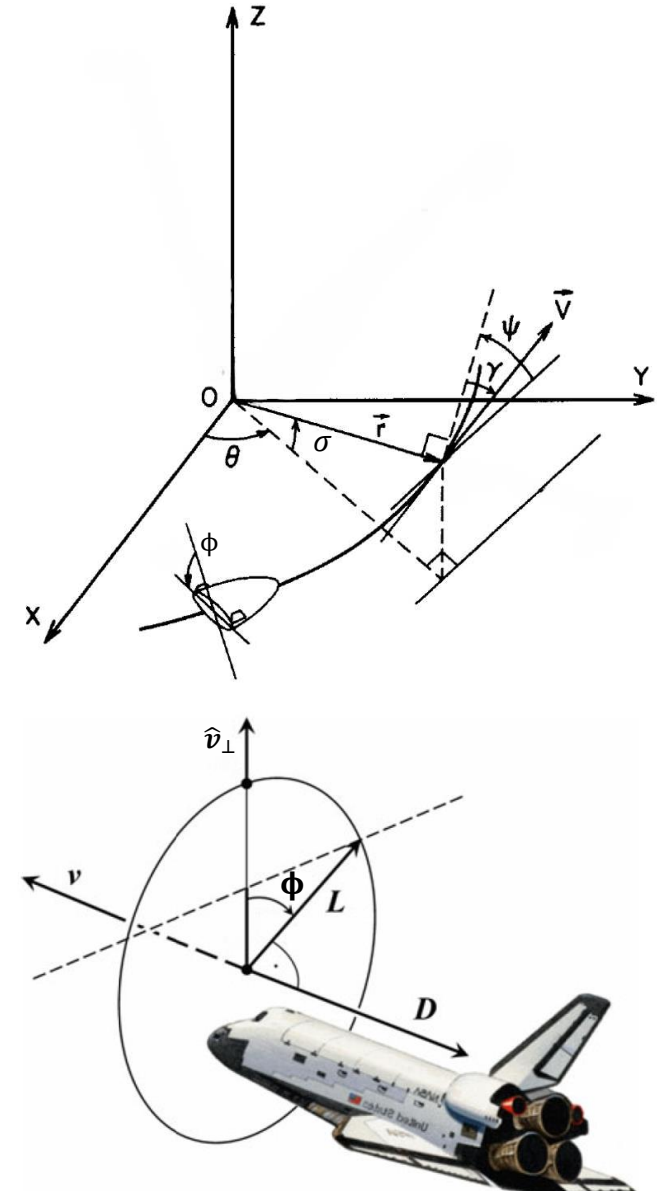
$$\frac{dv}{dt} = -\frac{D}{m} - g(r) \sin \gamma$$

$$v \frac{d\gamma}{dt} = \frac{L}{m} \cos \phi - g(r) \cos \gamma + \frac{v^2}{r} \cos \gamma$$

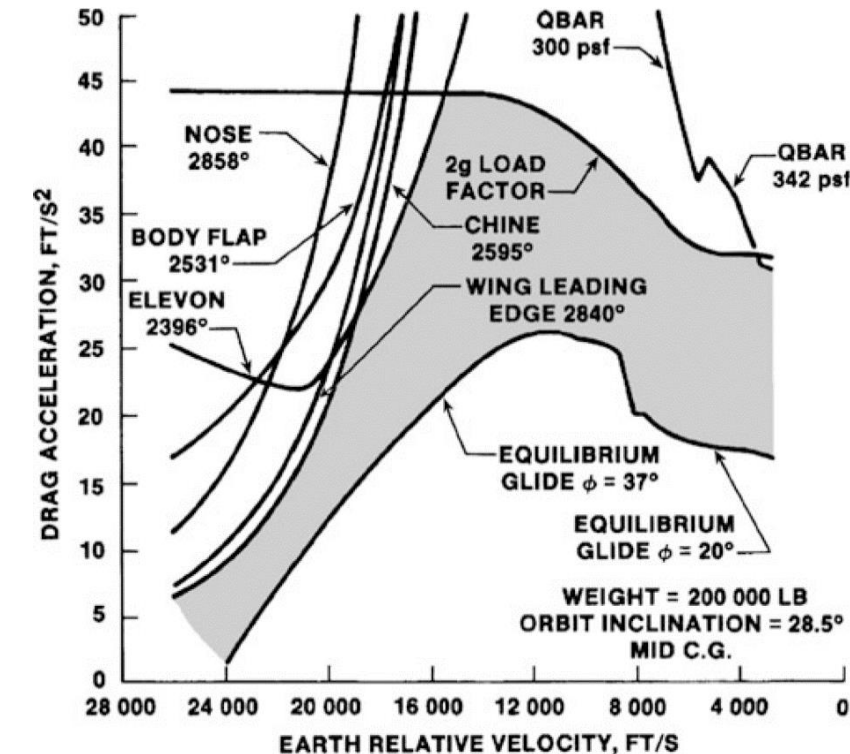
$$v \frac{d\psi}{dt} = \frac{L \sin \phi}{m \cos \gamma} - \frac{v^2}{r} \cos \gamma \cos \psi \tan \sigma$$

- $\frac{D}{m} = a_D$  DRAG ACCELERATION,  $\frac{L}{m} = a_L$  LIFT ACCELERATION.

- $v$  velocità in ECEF;
- XYZ assi ECEF;
- $\gamma$  flight path angle in ECEF;
- $\phi$  **Bank angle** (diverso da angolo di rollio in questa sede);
- $\hat{\vec{v}}_\perp = \frac{\vec{v} \times (\vec{r} \times \vec{v})}{\|\vec{v} \times (\vec{r} \times \vec{v})\|}$
- $g(r)$  accelerazione gravitazionale a distanza  $r$  dal centro della Terra;
- $\vartheta$  longitudine,  $\sigma$  latitudine;



- La determinazione della traiettoria nominale viene eseguita analizzando i **drag boundaries** nei diagrammi di fase  $a_D$  vs  $v$ ;
- La traiettoria nominale, deve rimanere all'interno dell'area delimitata dai *drag boundaries*.
- I *drag boundaries* variano in base ai parametri specifici della missione (es. inclinazione orbita di missione e massa alla EI).
- $\frac{d\gamma}{dt} \leq 0$  (Requisito)  $\rightarrow$  Limite di **equilibrium glide** ( $\gamma(t) = 0$ ):

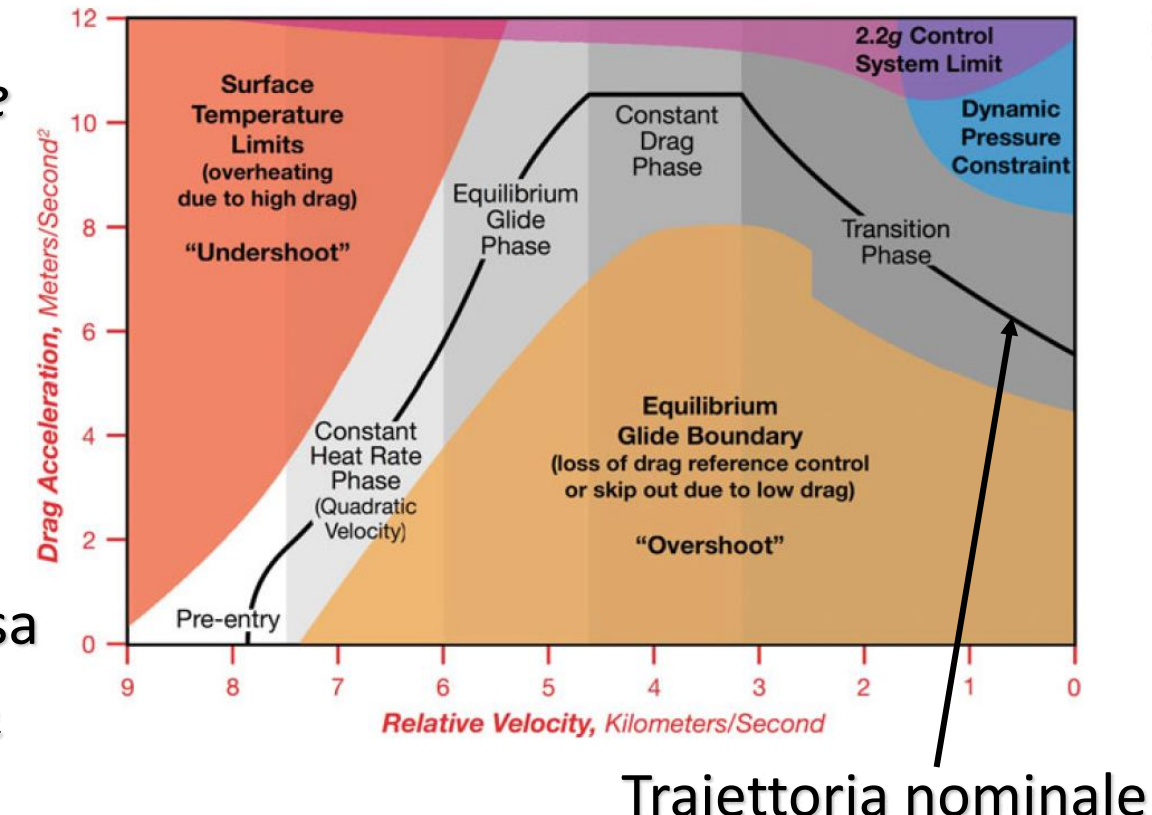


$$a_D = \frac{g_0 - \frac{v^2}{r_0}}{\cos \phi L/D}$$

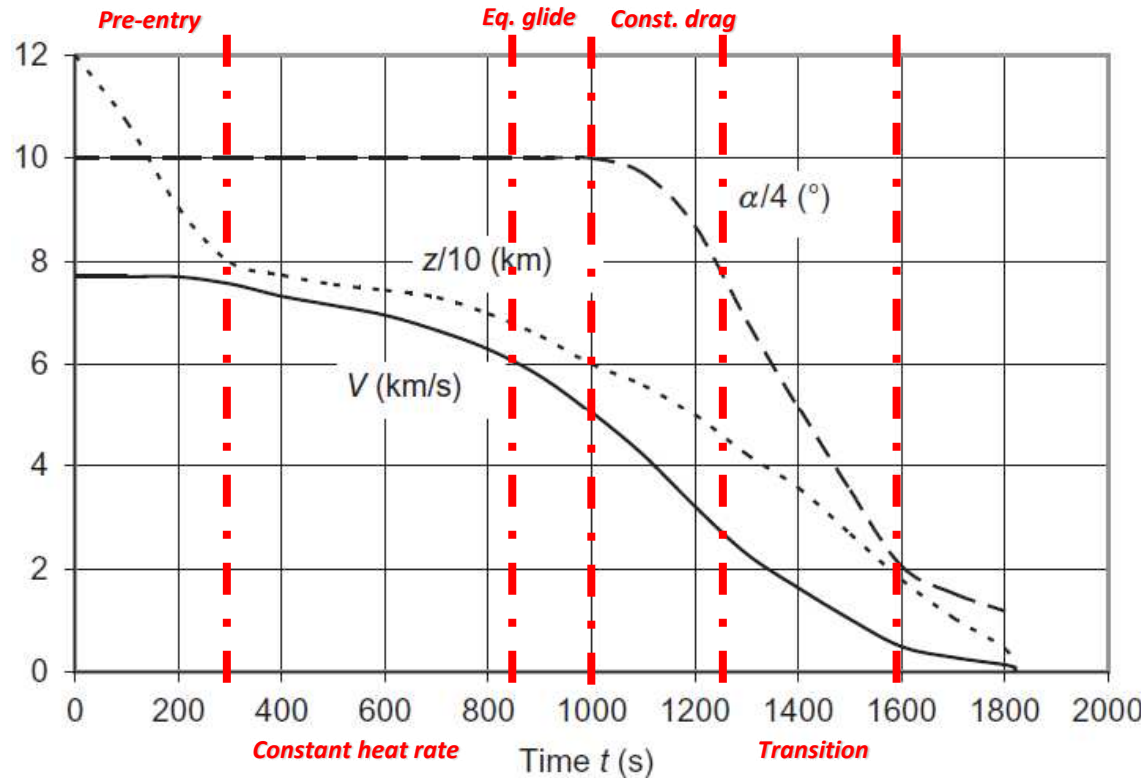
La traiettoria nominale è studiata in maniera da presentare 5 fasi di guida (**guidance phases**):

- *Pre-entry phase*;
- *Constant heat rate phase* (o *Temperature control phase*);
- *Equilibrium glide phase*;
- *Constant drag phase*;
- *Transition phase*.

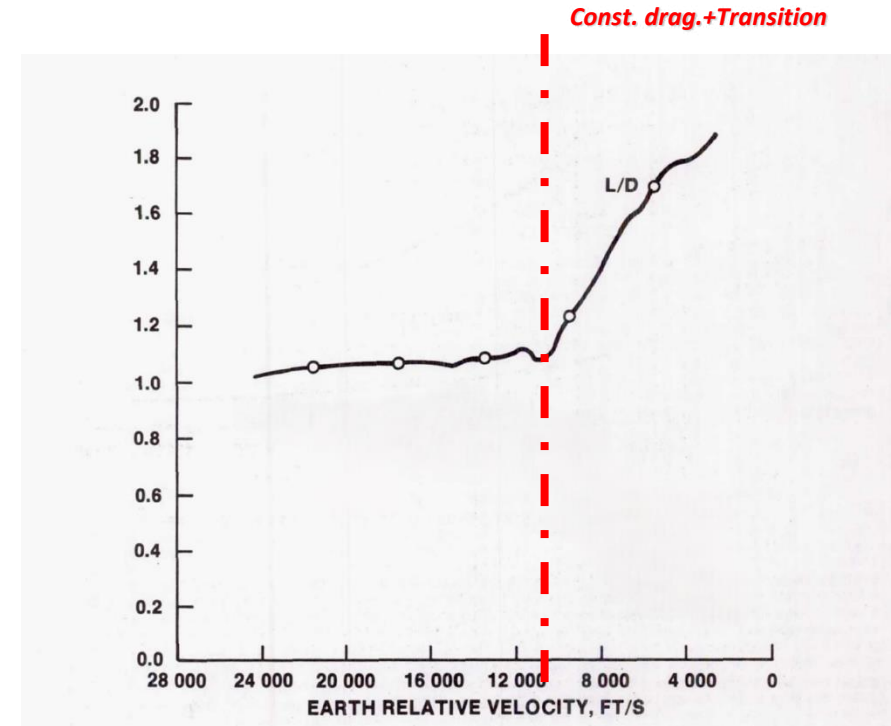
Ogni fase di guida è caratterizzata da una precisa relazione  $a_D(v)$  o  $a_D(\xi)$  con  $\xi/m = \frac{1}{2}v^2 + g_0 h$  (nel caso della *Transition phase*).



Traiettoria nominale

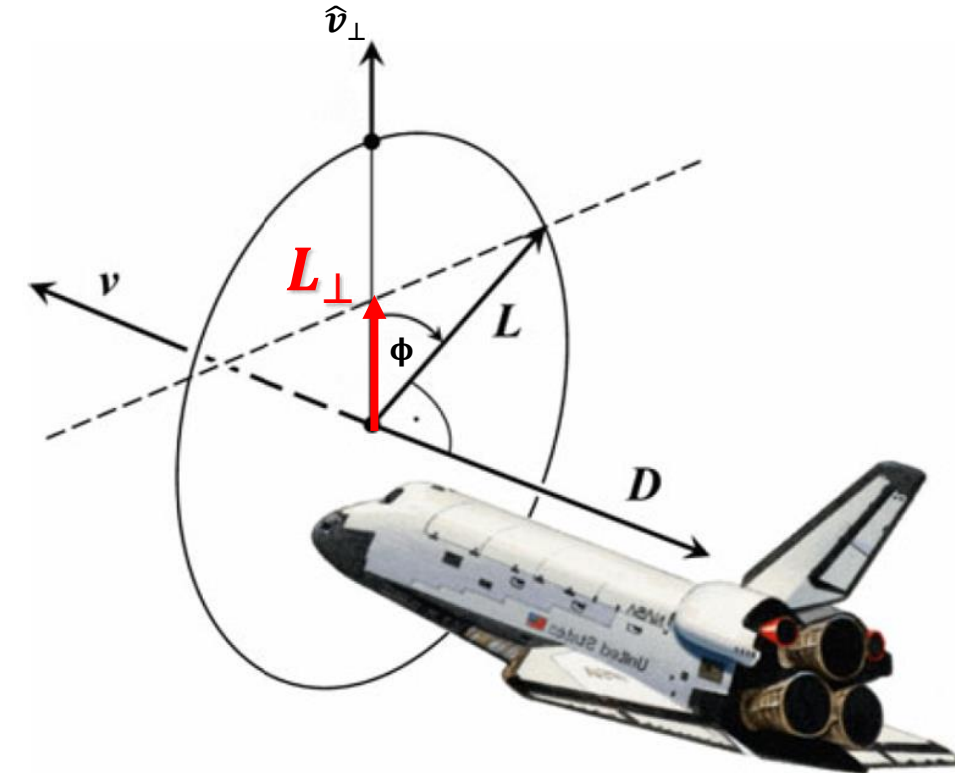


**Pre-entry** → temperature superficiali crescenti  
**Constant heat rate** → formazione di plasma  
 → *Communication blackout*



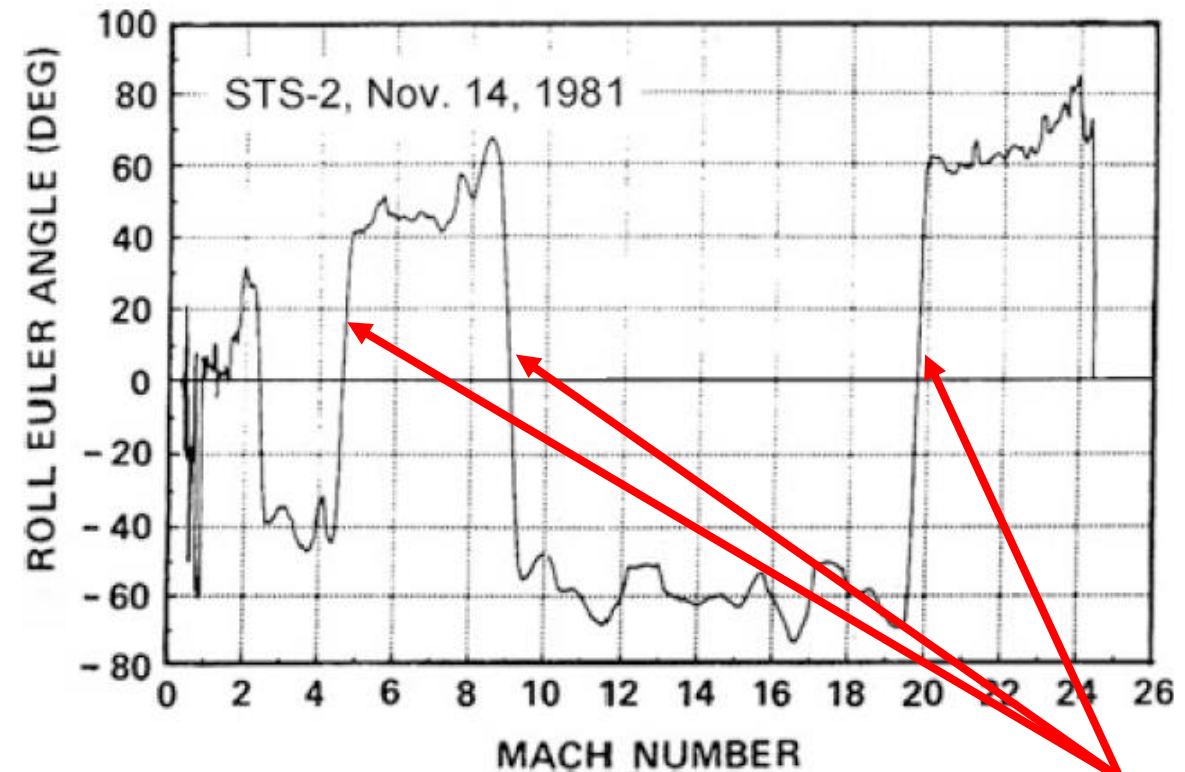
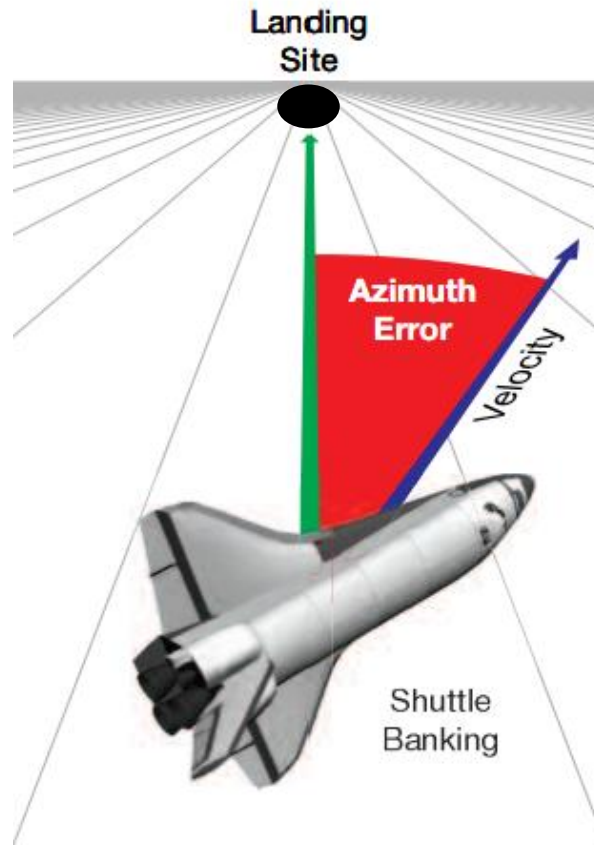
**Eq. glide e const. drag** →  $\frac{d\gamma}{dt} = 0$   
**Transition** →  $\frac{d(L/D)}{dt} > 0$

- $\alpha = 40^\circ$  garantisce drag elevato e separazione del plasma dalle superfici non protette;
- $\phi = 0^\circ \rightarrow L_\perp$  elevato  $\rightarrow \frac{d\gamma}{dt} > 0$ ;
- $\frac{d\gamma}{dt} > 0$  non è ammissibile in quanto il volo potrebbe diventare **instabile** oppure si potrebbe verificare lo **skip** (uscita alla EI);
- Per ovviare a questo problema  $\phi$  è mantenuto costante, a tratti, su valori elevati.



$$v \frac{d\gamma}{dt} = \frac{L_\perp}{m} - g(r) \cos \gamma + \frac{v^2}{r} \cos \gamma$$

Per controllare l'**azimuth error** l'orbiter effettua rotazioni intorno all'asse di rollio dette **ROLL REVERSALS**.



**ROLL REVERSALS**

## CONCLUSIONI

Le descrizioni e le analisi effettuate hanno individuato come i vincoli di natura strutturale, termica e di stabilità del volo hanno determinato le seguenti scelte di *flight design* della manovra di rientro dello *Space shuttle orbiter*:

- Vincoli di natura termica, strutturale e di stabilità del volo → **DEORBIT TARGETING**;
- Vincoli di natura termica, strutturale e di stabilità del volo → **DRAG BOUNDARIES**;
- Necessità di drag elevato e protezione delle superfici dal plasma →  $\alpha$  **ELEVATO**;
- Vincoli di stabilità del volo e controllo dell'*azimuth error* →  $\phi$  **ELEVATO** e **ROLL REVERSALS**.

**TRAETTORIA ASSETTO**

- Nguyen X. Vinh, Adolf Busemann, Robert D. Culp. *Hypersonic and planetary entry mechanics*, University of Michigan Press, 1980;
- Pasquale M. Sforza. *Manned Spacecraft Design Principle*, Butterworth-Heinemann, 2015;
- Ulrich Walter, *Astronautics. The Physics of Space Flight*, Springer, 3° edizione, 2018;
- Wayne Hale, Helen Woods Lane. *Wings In Orbit: Scientific and Engineering Legacies of the Space Shuttle*, National Aeronautics and Space Administration Government Printing Office, 2010;
- Joosten, B.K. *Descent guidance and mission planning for space shuttle*. NASA Technical Report 19850008593, NASA Lyndon B. Johnson Space Center, 1985;
- Douglas Zimpfer, Phil Hattis, John Ruppert e Don Gavert. *Space Shuttle GN&C Development History and Evolution*, JSC-CN-24531, NASA, 2011.